



UNIVERSIDADE FEDERAL DE ALAGOAS

Instituto de Computação – IC

Engenharia de Computação

Sistemas de Controle 2

CONTROLE DIGITAL: MODELAGEM E ANÁLISE DE SISTEMAS EM TEMPO DISCRETO

Aldemir Melo Rocha Filho

Sandoval da Silva Almeida Junior

Tayco Murilo Santos Rodrigues

Maceió – 2022

ÍNDICE

1. Introdução.....	2
2. Computador digital inserido no ambiente de controle.....	2
3. Representação do sistema em Tempo Contínuo.....	2
4. Discretização do Sistema em tempo contínuo.....	3
4.1. Discretização utilizando o método de <i>Euler</i>	3
4.2. Discretização utilizando o método <i>Backward</i>	4
4.3. Discretização utilizando o método de <i>Tustin</i>	5
5. Método de discretização de <i>Tustin</i> para T_s variável.....	7
6. Prova de estabilidade do sistema utilizando o critério de <i>Jury</i>	8
6.1. Estabilidade de Sistema Digital via plano z	8
7. Implementação de um controlador <i>PID</i> digital.....	13
8. Implementação de um controlador <i>DEADBEAT</i>	17
9. Anexos	22
10. Bibliografia	22

1. Introdução

Este relatório tem como objetivo final apresentar a implementação de dois tipos de controladores digitais, *PID* e *Deadbeat*. O sistema utilizado para estudo neste documento é o mesmo dos relatórios anteriores só que dessa vez em seu modelo discreto. As tarefas realizadas foram implementadas em linguagem *Python* com auxílio de módulos presentes nas bibliotecas *control*, *scipy*, *numpy* e *matplotlib*.

O link para acesso ao notebook com todos os algoritmos utilizados pode ser encontrado na área de anexos.

2. Computador digital inserido no ambiente de controle

Do livro: *Engenharia de Sistemas de Controle – 6ª edição*, temos as seguintes funções atribuídas ao computador digital no que diz respeito ao ambiente de controle:

- Supervisão: Externa à malha de realimentação. Exemplos de funções supervisórias consistem de escalonamento de tarefas, monitoramento de parâmetros e variáveis com relação a valores fora de faixa, ou inicialização do desligamento de segurança.
- Controle: Interno à malha de realimentação. Exemplos de funções de controle são as compensações com avanço e com atraso de fase.

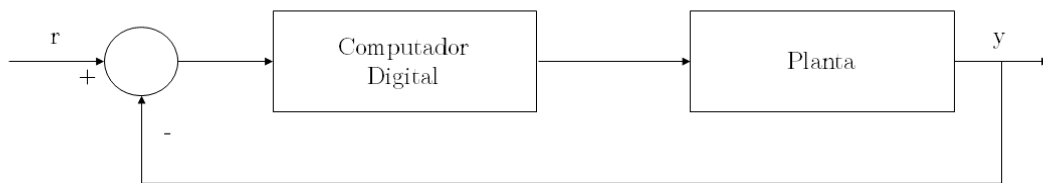


Imagem 1.1: Localização do Computador Digital na malha

3. Representação do sistema em Tempo Contínuo

Como já apresentado nos relatórios das atividades anteriores, temos que nosso sistema em tempo contínuo é descrito pela seguinte função de transferência em S :

$$G(s) = \frac{s + 1}{s^3 + s^2 + 2s + 1}$$

Com os seguintes conjuntos de polos e zeros:

$$Polos = \{p_1 \cong -0.5698 + 0j, p_2 \cong -0.2151 \pm 1.3071j\}$$

$$Zeros = \{z_1 = -1\}$$

Logo, temos que nosso sistema em S é *estável* uma vez que todos os seus polos estão contidos no semiplano esquerdo.

4. Discretização do Sistema em tempo contínuo

Se queremos simular o sistema contínuo com um dispositivo digital, precisamos de um método para converter o modelo contínuo em um modelo discreto. Esta conversão é chamada de discretização. Durante a conversão algumas informações do modelo contínuo podem ser perdidas. É importante que essa perda de informação seja minimizada. Aqui, faremos uso de três diferentes técnicas, cada uma com suas vantagens e desvantagens, e todas levando a diferentes representações do mesmo sistema. São elas:

$$\begin{cases} Euler \text{ com } T_s = 0.1 \\ Backward \text{ com } T_s = 0.1 \\ Tustin \text{ com } T_s = 0.1 \end{cases}$$

Onde T_s é a variável que representa o período de amostragem.

Uma vez determinado a técnica de discretização e o valor para T_s , podemos fazer uso do método `cont2discrete()` presente no módulo `scipy.signal`, a fim de obter o numerador e o denominador de nossa função de transferência em z . O método em questão recebe como entrada o sistema, o valor para T_s e uma *string* que determina a técnica a ser utilizada. O trecho de código utilizado para este fim pode ser observado abaixo:

```
11 #Discretizacao utilizando diferentes metodos
12 metodos = ['bilinear', 'euler', 'backward_diff']
13
14 #Funcoes de transferencia do sistema em Z
15 for metodo in metodos:
16     sysDisc = signal.cont2discrete((numCont, denCont), 0.1, metodo)
17     numD = sysDisc[0][0]
18     denD = sysDisc[1]
19     print('\n')
20     print('Funcao de Transferencia em Z utilizando o metodo ' + metodo + ':')
21     print('Numerador: ', numD)
22     print('Denominador: ', denD)
```

Imagem 4.1: Trecho de código utilizado para discretizar o sistema

4.1. Discretização utilizando o método de Euler

O método de Euler faz uso da seguinte abordagem: A área é aproximada pelo retângulo olhando para a frente de $(k - 1)$ em direção a k com uma amplitude igual ao valor de a função em $(k - 1)$.

Suprimindo os cálculos envolvidos para simplificar a explicação temos a seguinte relação para discretizar o sistema substituindo a variável s por sua correspondente em z :

$$s = \frac{z - 1}{T_s}$$

O algoritmo presente na Imagem 4.1 apresentou a seguinte saída quando os parâmetros fornecidos eram aqueles para se realizar a discretização utilizando o método de Euler:

```
1 Funcao de Transferencia em Z utilizando o metodo euler:
2 Numerador: [ 0.00000000e+00  3.10862447e-15  1.00000000e-02 -9.00000000e-03]
3 Denominador: [ 1.    -2.9    2.82   -0.919]
```

Imagem 4.2: Função de transferência em z utilizando o método de Euler

Realizando os devidos arredondamentos, podemos interpretar a função presente na **Imagem 4.2** como a seguinte função de transferência em z :

$$G(z)_E = \frac{10^{-2}z - 9 \cdot 10^{-3}}{z^3 - 2.9z^2 + 2.82z - 0.919}$$

Que possui o seguinte conjunto de polos e zeros:

$$Polos_E = \{p_1 \cong 0.9430 + 0j, p_2 \cong 0.9785 \pm 0.1307j\}$$

$$Zeros_E = \{z_1 = 0.9\}$$

E a seguinte resposta ao degrau unitário comparada à $G(s)$:

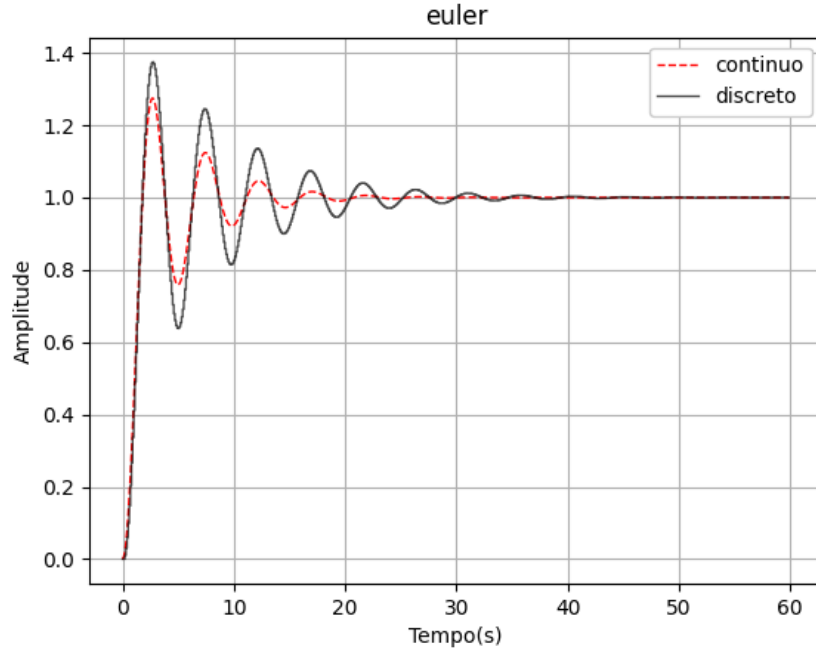


Imagem 4.3: Comparação entre as respostas de $G(s)$ e $G(z)_E$ ao degrau unitário

4.2. Discretização utilizando o método *Backward*

O método de Euler Backward faz uso da seguinte abordagem: A área é aproximada pelo retângulo *olhando para trás* de k em direção a $(k - 1)$ com uma amplitude igual ao valor da função em k .

Suprimindo os cálculos envolvidos para simplificar a explicação temos a seguinte relação para discretizar o sistema substituindo a variável s por sua correspondente em z :

$$s = \frac{z - 1}{z \cdot T_s}$$

O algoritmo presente na **Imagem 4.1** apresentou a seguinte saída quando os parâmetros fornecidos eram aqueles para se realizar a discretização utilizando o método de Euler Backward:

```

1 Funcao de Transferencia em Z utilizando o metodo backward_diff:
2 Numerador: [ 9.81266726e-03 -8.92060660e-03 -4.44089210e-16 4.44089210e-16]
3 Denominador: [ 1. -2.87243533 2.76538805 -0.89206066]

```

Imagem 4.4: Função de transferência em z utilizando o método de *Euler Backward*

Realizando os devidos arredondamentos, podemos interpretar a função presente na **Imagem 4.4** como a seguinte função de transferência em z:

$$G(z)_B = \frac{9.813 \cdot 10^{-3} z^3 - 8.923 \cdot 10^{-3} z^2}{z^3 - 2.872 z^2 + 2.765 z - 0.892}$$

Que possui o seguinte conjunto de polos e zeros:

$$Polos_B = \{p_1 \cong 0.9430 + 0j, p_2 \cong 0.9785 \pm 0.1307j\}$$

$$Zeros_B = \{z_1 = 0.9\}$$

E a seguinte resposta ao degrau unitário comparada à $G(s)$:

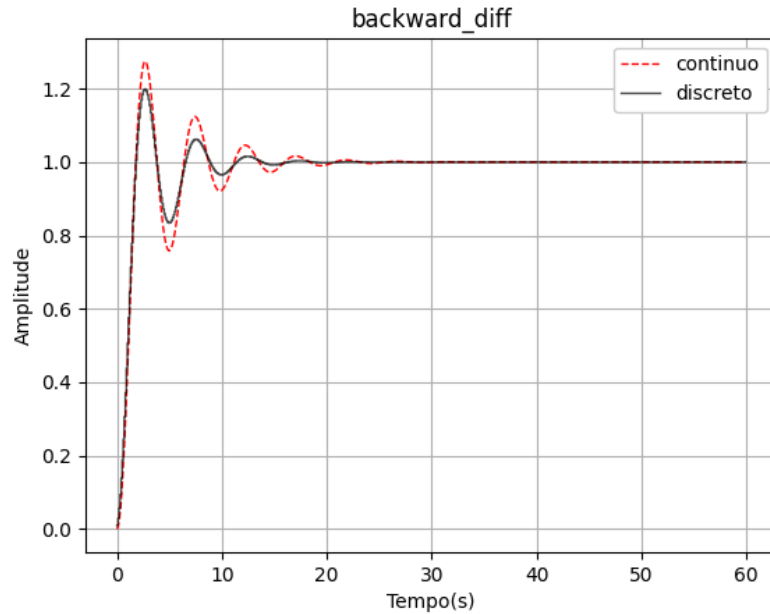


Imagem 4.5: Comparação entre as respostas de $G(s)$ e $G(z)_B$ ao degrau unitário

4.3. Discretização utilizando o método de *Tustin*

O método Trapezoidal(*Tustin*) faz uso da seguinte abordagem: Podemos ligar com uma reta o valor de amplitude da função em $(k - 1)$ e em k , e assim, calcular a área do trapézio formado pelos retângulos obtidos partindo das abordagens descritas nos tópicos 4.1 e 4.2.

Suprimindo os cálculos envolvidos para simplificar a explicação temos a seguinte relação para discretizar o sistema substituindo a variável s por sua correspondente em z :

$$s = \frac{2}{T_s} \cdot \frac{z - 1}{z + 1}$$

O algoritmo presente na **Imagem 4.1** apresentou a seguinte saída quando os parâmetros fornecidos eram aqueles para se realizar a discretização utilizando o método de Tustin:

```

1 Funcao de Transferencia em Z utilizando o metodo bilinear:
2 Numerador: [ 0.00248786  0.0027248  -0.00201398  -0.00225092]
3 Denominador: [ 1.  -2.88555858  2.7914939  -0.90498756]

```

Imagem 4.6: Função de transferência em z utilizando o método de *Tustin*

Realizando os devidos arredondamentos, podemos interpretar a função presente na **Imagem 4.6** como a seguinte função de transferência em z:

$$G(z)_T = \frac{0.0025 z^3 + 0.0027 z^2 - 0.002 z - 0.0023}{z^3 - -2.8856 z^2 + 2.7915 z - 0.905}$$

Que possui o seguinte conjunto de polos e zeros:

$$Polos_T = \{p_1 \cong 0.9446 + 0j, p_2 \cong 0.9705 \pm 0.1274j\}$$

$$Zeros_T = \{z_1 = -1, z_2 \cong 0.9048\}$$

E a seguinte resposta ao degrau unitário comparada à $G(s)$:

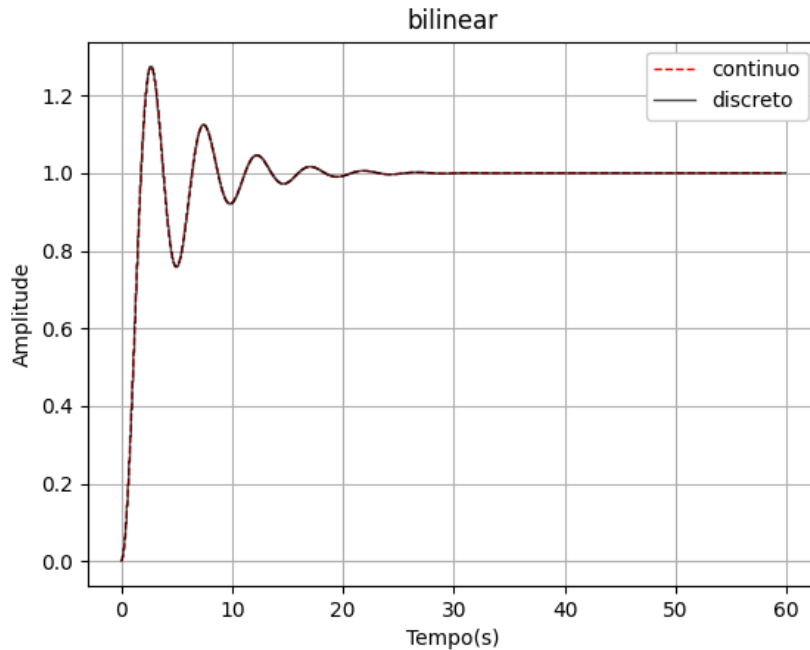


Imagem 3.7: Comparação entre as respostas de $G(s)$ e $G(z)_T$ ao degrau unitário

Partindo dos resultados apresentados nos itens 4.1, 4.2 e 4.3 podemos concluir que o método de discretização, com $T_s = 0.1$, que apresenta o resultado mais próximo ao sistema em tempo contínuo, é o de *Tustin*, uma vez que houve pouca distorção na saída $Y(z)$ quando comparado ao método de *Euler* e *Backward*, assim havendo um menor comprometimento no comportamento do sistema.

5. Método de discretização de *Tustin* para T_s variável

Como visto no tópico 4, o método de *Tustin* é aquele que apresenta menor distorção na saída quando comparado ao sistema em tempo contínuo. Agora, o objetivo é observar o comportamento do sistema quando discretizado com este método, mas levando em consideração diferentes valores para T_s . Os valores que serão utilizados estão presentes no conjunto abaixo:

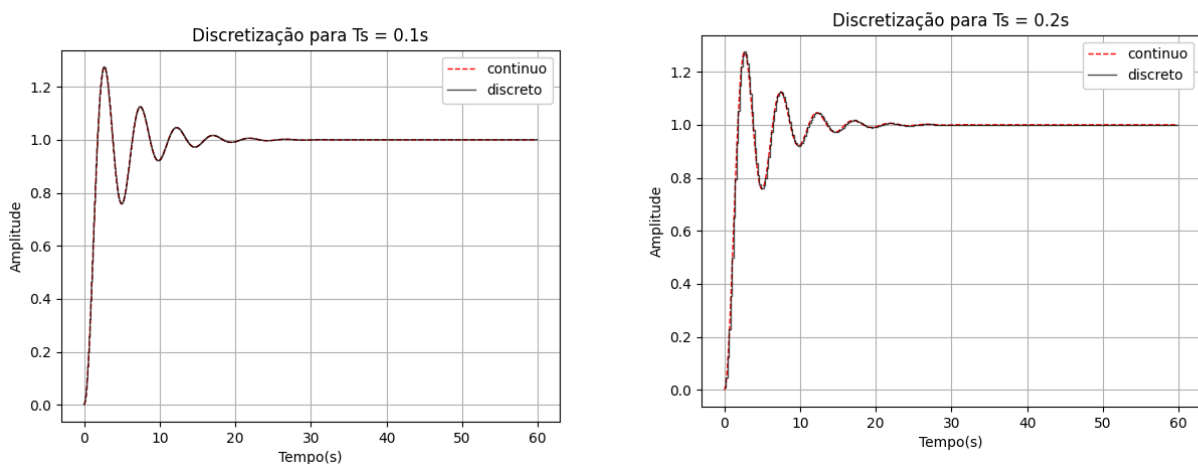
$$\text{Taxa de amostragem} = \{0.1, 0.2, 0.4, 0.6, 0.8, 1\}$$

Para realizar a tarefa descrita no parágrafo anterior, faremos uso de dois métodos presentes no módulo *scipy.signal*, são eles: *cont2discrete()*, para realizar a discretização do sistema e o método *dlsim()*, para avaliar a resposta do sistema à um sinal de entrada, neste caso, um degrau unitário. A biblioteca *matplotlib* também foi utilizada para gerar os gráficos com os resultados. O trecho de código utilizado junto das saídas obtidas pode ser observado abaixo:

```
1 periodos = [0.1, 0.2, 0.4, 0.6, 0.8, 1]
2
3 #Definicao do vetor de tempo e da entrada
4 tempo = np.arange(0,60,0.1)
5 u = np.full(len(tempo),1)
6
7 #Resposta do sistema em tempo contínuo
8 tOutCont, yOutCont, x = signal.lsim(sysCont, u, tempo)
9
10 #Resposta do sistema discreto com diferentes valores de Ts
11 for periodo in periodos:
12     sysDisc = signal.cont2discrete((numCont,denCont), periodo, 'bilinear')
13     OutDisc, yOutDisc = signal.dlsim(sysDisc, u, tempo)
14     plt.plot(tOutCont, yOutCont, 'r—', linewidth=1, label='contínuo')
15     plt.step(OutDisc, yOutDisc, 'k', alpha=0.7, where='post', linewidth=1, label='discreto')
16     plt.legend(loc='best', framealpha=1)
17     plt.title('Discretizacao para Ts = '+ str(periodo) + 's')
18     plt.grid(0.5)
19     plt.xlabel('Tempo(s)')
20     plt.ylabel('Amplitude')
21     plt.show()
22     print('\n')
```

Imagem 5.1: Trecho de código utilizado para comparar o sistema discretizado com diferentes valores de T_s

Os gráficos com as diferentes respostas do sistema podem ser visualizados a seguir:



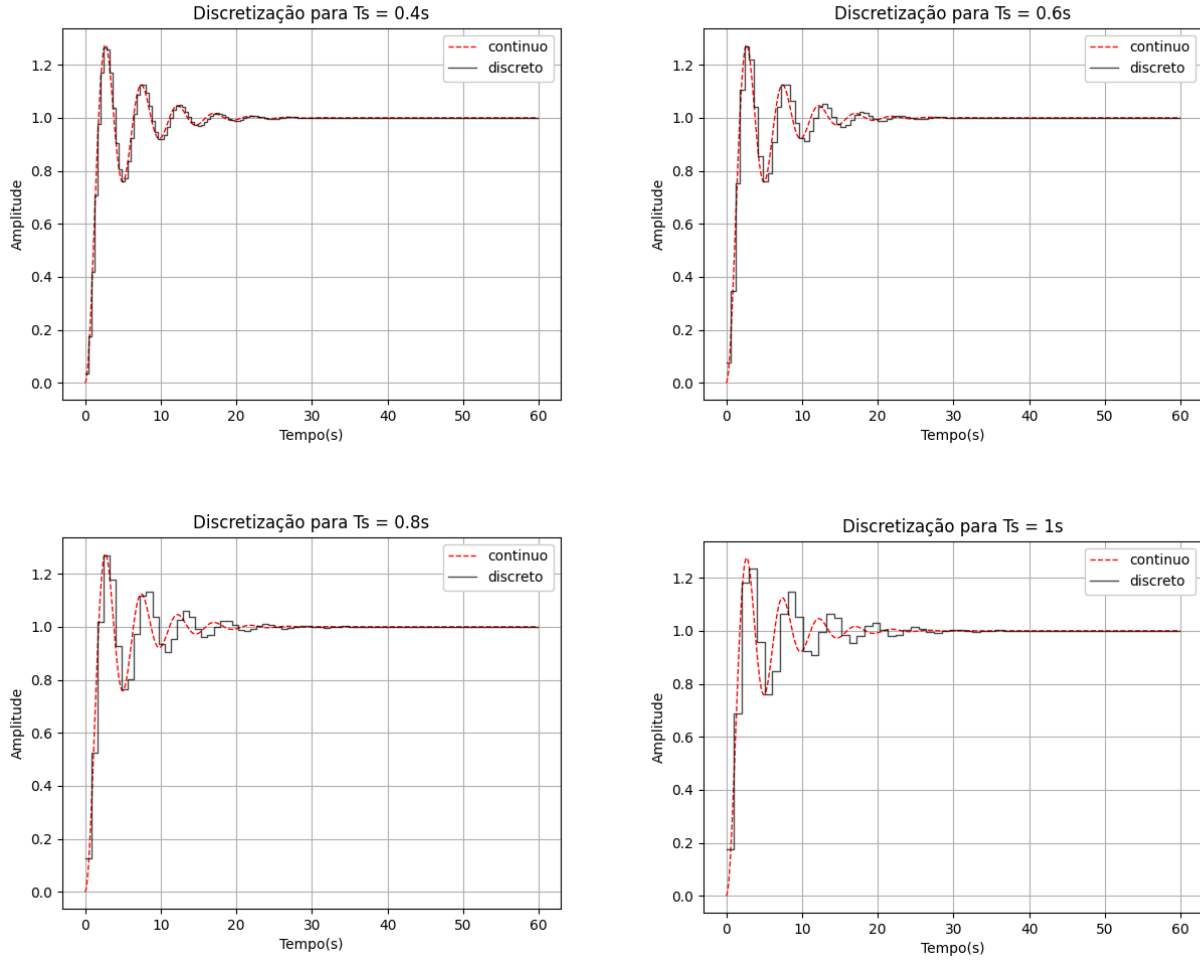


Imagem 5.2: Conjunto de plots que representam as diferentes respostas ao degrau do sistema $G(z)$ quando discretizado utilizando o método de *Tustin* com T_s variável

Podemos observar que a medida em que o valor de T_s varia, temos uma maior perda de informação na resposta do sistema discretizado, quando comparado ao sistema em tempo contínuo. Este comportamento é apresentado pois o “espaçamento” que existe entre as amostras não é suficiente para manter a informação do sinal preservada nos primeiros segundos de simulação, contudo, o mesmo é praticamente indiferente quando o sistema ultrapassa o tempo de acomodação t_s . Portanto, para um projeto de um sistema de controle em z , temos que o valor escolhido para T_s pode variar a depender de quantidade de informação que se deseja obter, de forma que o sinal gerado seja suficientemente equivalente ao seu correspondente em s .

6. Prova de estabilidade do sistema utilizando o critério de *Jury*

6.1. Estabilidade de Sistema Digital via plano z

Uma vez que podemos realizar uma mudança de variável em nossa função de transferência $G(s)$ para obtermos a sua correspondente $G(z)$, também podemos realizar um mapeamento dos pontos presentes no plano s para o plano z . Em específico, se busca mapear os *polos* e *zeros* do sistema entre esses planos para se determinar os critérios de estabilidade e desempenho do sistema.

Do livro: *Engenharia de Sistemas de Controle – 6ª edição*, temos a seguinte assertiva: Cada região do plano s pode ser mapeada em uma região correspondente no plano z . Dessa forma, um sistema de controle digital é estável se todos os polos da função de transferência em malha fechada, $T(z)$, estão dentro do círculo unitário no plano z , instável se algum polo está fora do círculo unitário e/ou se existem polos de multiplicidade maior que um sobre o círculo unitário, e marginalmente estável se polos de multiplicidade um estão sobre o círculo unitário e todos os demais polos estão dentro do círculo unitário.

A representação do mapeamento pode ser observada abaixo.

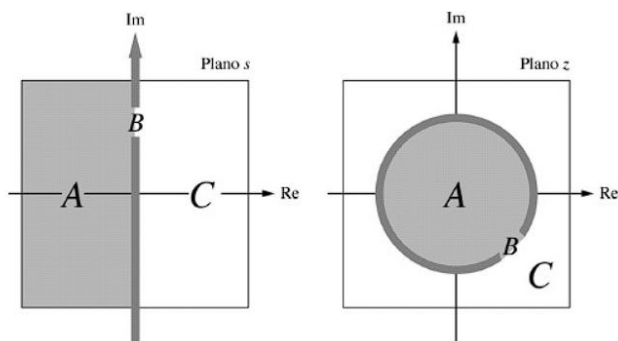


Imagem 6.1: Mapeamento de regiões entre o plano s e o plano z . Fonte: NISE, Norman. Engenharia de Sistemas de Controle. 6ª ED. (2012, p. 1059)

O critério de *Jury* é a versão discreta do critério de *Routh – Hurwitz*. Permite que seja verificado se todas as raízes de um polinômio estão dentro do círculo unitário sem que se precise calcular explicitamente as raízes.

O primeiro passo para se observar a estabilidade partindo deste critério é montar a matriz de *Jury*, partindo dos coeficientes do denominador de nossa função de transferência $G(z)$.

Seja:

$$G(z) = \frac{b(z)}{a(z)} = \frac{b(z)}{a_0 z^n + a_1 z^{n-1} + \dots + a_n}$$

Com $a_0 > 0$, a matriz de *Jury* é formada por:

a_0	a_1	\dots	a_n
a_n	a_{n-1}	\dots	a_0
b_0	b_1	\dots	
b_{n-1}	b_{n-2}	\dots	
c_0	c_1	\dots	
\vdots	\vdots		

De forma que:

$$b_0 = a_0 - \frac{a_n}{a_0} a_n$$

$$\begin{aligned}
b_1 &= a_1 - \frac{a_n}{a_0} a_{n-1} \\
&\vdots \\
b_k &= a_k - \frac{a_n}{a_0} a_{n-k} \\
&\vdots \\
c_k &= b_k - \frac{b_{n-1}}{b_0} b_{n-1-k} \\
&\vdots
\end{aligned}$$

Por fim, uma vez que a matriz está completamente montada, temos que se $a_0 > 0$, então todas as raízes estarão dentro do círculo unitário, *sse*, todos os termos da primeira coluna das linhas ímpares forem positivos. Se nenhum elemento da primeira coluna das linhas ímpares for nulo, o número de raízes fora do círculo unitário é igual ao número de elementos negativos.

Para o nosso sistema, a fim de manter a maior coerência dos dados, vamos tomar como modelo a função de transferência discretizada utilizando o método de *Tustin*, com um $T_s = 0.1$. O trecho de código utilizado e as saídas obtidas podem ser observadas abaixo.

Primeiro, definimos um método para inverter uma linha qualquer com o propósito de montar as linhas pares de nossa matriz.

```

1 #Metodo para inverter um vetor qualquer
2
3 def inverseVector(vector):
4     aux = vector[::-1]
5     return aux

```

Imagem 6.2: Trecho de código utilizado para inverter um vetor qualquer

Depois montamos as linhas subsequentes da matriz.

```

1 #Criamos as duas primeiras linhas da matriz de Jury
2 coefficient = [1, -2.88556, 2.79149, -0.90499]
3 jury = []
4 #Linha 1 com os coeficiente
5 jury.append(coefficient)
6 #Linha 2 com os coeficientes invertidos
7 jury.append(inverseVector(coefficient))
8
9 #Setup
10 line = 2
11 odd_line = 0
12 column = len(coefficient)
13
14 #Montagem da tabela
15 while(column != 1):
16
17     #vetor auxiliar para guardar os resultados da linha atual
18     aux_vector = []
19     # calculamos an/a0 atual
20     mult = round((jury[line-2][column-1])/(jury[line-2][0]), 5)
21     #Calculando a linha atual
22     for aux in range(column-1):
23         aux_vector.append(round(jury[line-2][aux] - (jury[line-1][aux] * mult), 5))
24
25     #Armazenando a linha atual na matriz de Jury
26     jury.append(aux_vector)
27     #Armazenando o inverso da linha atual na matriz de Jury
28     jury.append(inverseVector(aux_vector))
29     #Decrementando o valor que representa a coluna
30     column = column - 1
31     #Incrementando o valor que representa a linha
32     line = line + 2

```

Imagem 6.3: Trecho de código utilizado para montar toda a matriz de *Jury*

Podemos usar o trecho de código abaixo para mostrar a matriz de *Jury* montada no passo anterior.

```
1 #Matriz de Jury do sistema
2 for i in range(len(jury)):
3     print(jury[i])
```

Imagem 6.4: Trecho de código utilizado para exibir a matriz de *Jury*

```
1 [1, -2.88556, 2.79149, -0.90499]
2 [-0.90499, 2.79149, -2.88556, 1]
3 [0.18099, -0.35929, 0.18009]
4 [0.18009, -0.35929, 0.18099]
5 [0.0018, -0.00179]
6 [-0.00179, 0.0018]
7 [2e-05]
8 [2e-05]
```

Imagem 6.5: Matriz de *Jury* do sistema

Podemos interpretar a saída da **Imagem 5.4** como a seguinte matriz:

1	-2.89	2.79	-0.90
-0.90	2.79	-2.89	1
0.18	-0.36	0.18	
0.18	-0.36	0.18	
0.0018	-0.00179		
-0.00179	0.0018		
$2 \cdot 10^{-5}$			

Por fim, verificamos a condição de estabilidade do sistema. O trecho de código utilizado para este fim e a saída obtida podem ser observados abaixo.

```
1 #Verificando o criterio de Jury
2 while(1):
3
4     #Se algum elemento presente em uma linha impar da primeira coluna for <=0
5     if( jury[odd_line][0] <= 0 ):
6         print('Existe raiz do polinomio fora do circulo unitario, logo o sistema e instavel.')
7         break
8
9     #Incremento na variavel que representa a linha impar atual
10    odd_line = odd_line + 2
11
12    #Se a linha impar == ultima linha -> atende ao criterio de estabilidade
13    if(odd_line == line):
14        print('As raizes do polinomio estao todas dentro do circulo unitario, logo o sistema e
15        estavel.')
16        break
```

Imagem 6.6: Trecho de código utilizado para verificar o critério de *Jury*

```
1 As raizes do polinomio estao todas dentro do circulo unitario, logo o sistema e estavel.
```

Imagem 6.7: Saída do critério de *Jury*

Podemos atestar a afirmação da **Imagem 6.7** realizando uma *plotagem* do lugar geométrico das raízes do sistema $G(z)$. Para este fim, foi feito uso do método *rlocus()*, presente no módulo

matlab da biblioteca *control*. O trecho de código utilizado junto de sua saída pode ser observado abaixo.

```

1 #Plot do lugar geométrico das raízes do sistema
2
3 sysCont = matlab.TransferFunction([0,0,1,1], [1,1,2,1])
4 sysDisc = matlab.c2d(sysCont, 0.1, 'bilinear')
5
6 rlocus = matlab.rlocus(sysDisc)
7 plt.grid(alpha = 0.5)
8 plt.show()

```

Imagem 6.8: Trecho de código utilizado para exibir o lugar geométrico das raízes

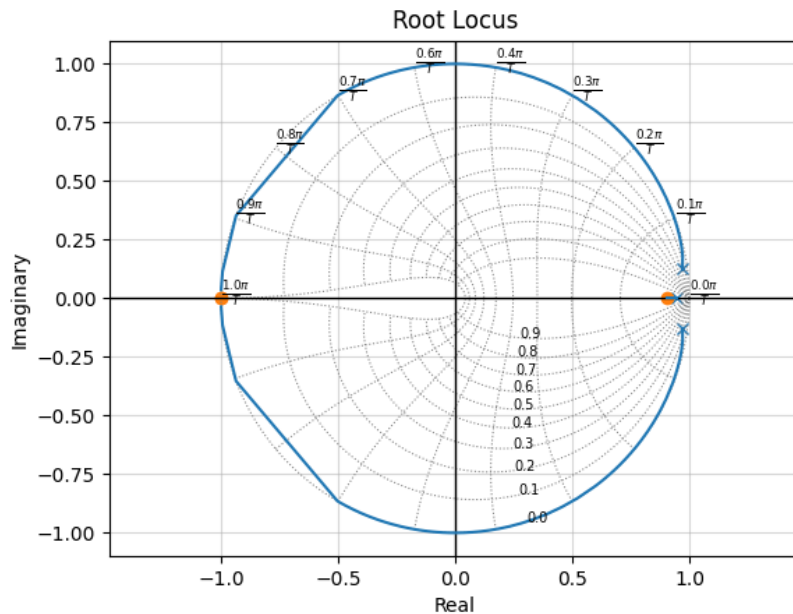


Imagem 6.9: Lugar geométrico das raízes

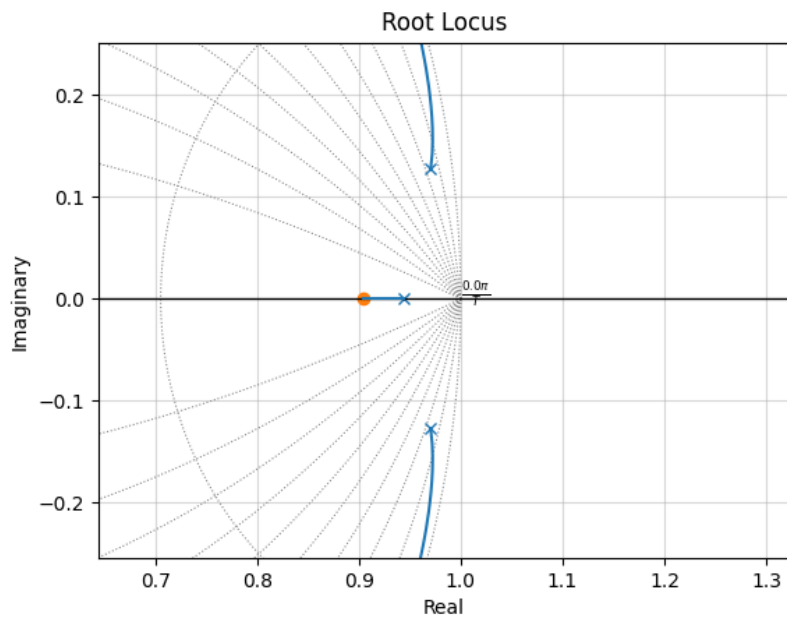


Imagem 6.10: Lugar geométrico das raízes ampliado

Portanto, partindo da **Imagem 6.10**, podemos atestar que o algoritmo responsável por gerar e verificar o critério de *Jury* gerou a saída correta para o sistema em questão. Dessa forma, temos que *o sistema $G(z)$ é estável*.

7. Implementação de um controlador *PID* digital

Esse tipo de controlador possui características interessantes para manter sob controle a saída de um determinado sistema. Utilizado em sistemas de malha fechada, um controle desse tipo pode ser ajustado para oferecer a resposta desejada e manter a saída em um valor estável com um mínimo de erro possível, apenas com o ajuste de três parâmetros.

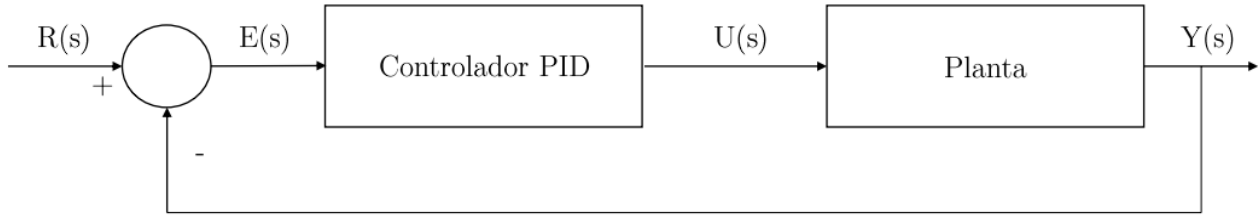


Imagem 7.1: Posição do controlador em malha fechada

Em tempo contínuo o Controlador *P.I.D.* pode ser descrito com o seguinte modelo matemático:

$$u(t) = k_p e(t) + k_i \int e(t) dt + k_d \frac{d}{dt} e(t)$$

Agora, escrevendo uma aproximação para cada componente, temos:

$$u[k] = k_p e[k] + k_i h \sum_i^{k-1} e[i] + k_d \frac{e[k] - e[k-1]}{h}$$

Perceba que a representação acima é uma aproximação direta do modelo matemático de um controlador *P.I.D.* digital. Temos que essa representação apesar de direta é ineficiente, uma vez que, do ponto de vista computacional, temos um uso excessivo de memória e aumento exponencial do tempo que se leva para calcular a nova saída $u[k]$, devido ao somatório existente na parcela integrativa. Sendo assim, vamos partir de um outro modelo em tempo contínuo. Considere o seguinte:

$$\frac{d}{dt} u(t) = k_p \frac{d}{dt} e(t) + k_i e(t) + k_d \frac{d^2}{dt^2} e(t)$$

O modelo matemático acima é equivalente ao apresentado anteriormente, uma vez que, apenas derivamos a equação no tempo. Agora, escrevendo uma aproximação para cada componente, temos:

$$\frac{u[k] - u[k-1]}{h} = k_p \frac{e[k] - e[k-1]}{h} + k_i e[k] + k_d \frac{e[k] - e[k-1] - e[k-2]}{h}$$

Fazendo os devidos ajustes na equação temos a seguinte representação para um controlador *P.I.D.* digital:

$$u[k] = u[k-1] + k_p (e[k] - e[k-1]) + k_i h e[k] + \frac{k_d}{h} (e[k] - e[k-1] - e[k-2])$$

Onde:

- k_p é o coeficiente de ação proporcional
- k_i é o coeficiente de ação integrativa
- k_d é o coeficiente de ação derivativa
- $u[k]$ é a próxima entrada para o sistema
- $u[k - 1]$ é a entrada anterior do sistema
- $e[k]$ é o valor de erro atual do sistema
- $e[k - 1]$ é o valor de erro anterior ao instante k
- $e[k - 2]$ é o valor de erro anterior ao instante $k - 1$
- $h = T_s$ que para o nosso caso vale 0.1

Para a implementação computacional do controlador partimos da implementação individual de cada bloco do sistema em malha fechada. Garantindo assim o comportamento de cada componente junto de suas entradas e saídas corretas.

Para o componente responsável por calcular e atualizar o erro, temos:

```
1 ## Bloco de erro
2
3 def erro(e0, e1, e2, setpoint, output):
4
5     eAtual = setpoint - output
6     e2 = e1
7     e1 = e0
8     e0 = eAtual
9
10    return e0, e1, e2
```

Imagem 7.2: Trecho de código responsável por atualizar o erro

O trecho de código acima recebe os últimos três valores de erro, o sinal de referência e a última saída do sistema para calcular e gerar a saída $E(z)$ com os três valores de erro mais recentes.

Para o componente que desempenha o papel do controlador *P.I.D.* temos:

```
1 #Bloco PID
2
3 def PID(e0, e1, e2, uAnterior):
4
5     kp = 5
6     ki = 2.8
7     kd = 0.000001
8
9     u = uAnterior + kp*(e0 - e1) + (ki*0.1)*(e0) + (kd/0.1)*(e0 - e1 - e2)
10    return u
```

Imagem 7.3: Trecho de código responsável por gerar o sinal de controle para o sistema

O trecho de código acima recebe os três valores de erro mais recentes junto do último sinal de controle gerado para calcular e gerar na saída a próxima entrada do sistema $U(z)$. Para se alcançar o comportamento desejado em malha fechada, os parâmetros k_p , k_i e k_d foram definidos respectivamente como 5, 2.8 e 0.000001. A escolha desses valores foi realizada de maneira arbitrária.

Para o componente que representa o sistema temos:

```
1 #Bloco do sistema
2
3 def system(discreteSystem, inputSignal, timeStep):
4
5     tOutSystem, yOutSystem = signal.dlsim(discreteSystem, inputSignal, timeStep)
6     return tOutSystem, yOutSystem
```

Imagem 7.4: Trecho de código responsável por gerar a resposta do sistema ao sinal de controle

O trecho de código acima recebe o sistema discretizado junto dos vetores que representam o sinal de entrada e o tempo de simulação, apresentando na saída a resposta $Y(s)$.

Agora, definimos as condições iniciais do sistema em malha fechada:

```
1 #Set up das condicoes iniciais do sistema
2
3 #Valores de erro acumulados com valores iniciais nulos
4 e0 = 0
5 e1 = 0
6 e2 = 0
7
8 #Valores iniciais para setpoint e saida
9 setPoint = 1
10
11 #Valor do time step (fixo)
12 Ts = 0.1
13
14 #Instantes de tempo (0s —> 60s com passo = Ts —> 600 instantes de tempo)
15 instanteTempo = 0
16
17 #Vetor com os instantes de tempo (tamanho 600)
18 tempo = np.arange(0, 60, Ts)
19
20 #Vetor com as entradas
21 u = np.zeros(len(tempo))
22 u[0] = 1
23
24 #Vetor com as saidas
25 ysOut = np.zeros(len(tempo))
26 tsOut = np.zeros(len(tempo))
27
28 #Modelagem do sistema discreto
29 num = [0, 0, 1, 1]
30 den = [1, 1, 2, 1]
31 dt = 0.1
32 discreteSystem = signal.cont2discrete((num, den), dt, 'bilinear')
```

Imagem 6.5: Trecho de código responsável por definir as condições iniciais do sistema em malha fechada

O trecho de código acima garante os erros iniciais do sistema iguais a zero, o valor do sinal de referência como um e o valor da taxa de amostragem como **0.1**. Garante também a criação dos vetores que representam a entrada e a saída da planta, assim como o tempo de simulação, todos preenchidos também com zeros, pôr fim a discretização é realizada utilizando o método de *Tustin* com $T_s = 0.1$.

Uma vez que a lógica dos blocos individuais foi montada, suas entradas e saídas modeladas de maneira correta e as condições iniciais do sistema estabelecidas, resta apenas simular a malha fechada garantindo a sequência lógica de execução correta. O trecho de código responsável por simular a lógica do sistema em malha fechada pode ser observado abaixo.


```

1 #Sistema em malha fechada
2
3 while(instanteTempo < len(tempo)-1):
4
5     #Resposta do sistema
6     tsOut, ysOut = system(discreteSystem, u, tempo)
7     output = ysOut[instanteTempo]
8
9     #Valor de erro para o instante atual
10    e0, e1, e2 = erro(e0, e1, e2, setPoint, output)
11
12    #Erro + entrada anterior usadas no controlador para gerar a proxima entrada do sistema
13    u[instanteTempo + 1] = PID(e0, e1, e2, output)
14
15    instanteTempo += 1

```

Imagem 6.6: Simulação do sistema em malha fechada

Ao fim da execução do algoritmo presente na **Imagem 6.6** temos as seguintes saídas:

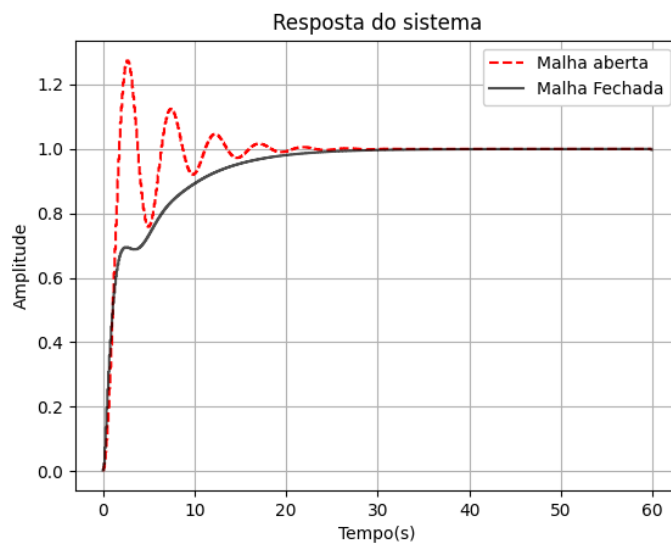


Imagem 6.7: Comparação entre as respostas do sistema em Malha aberta e Malha Fechada

Partindo da **Imagem 6.7**, podemos observar que o comportamento desejado para o sistema foi alcançado fazendo uso do controlador em questão, com os parâmetros escolhidos de maneira apropriada.

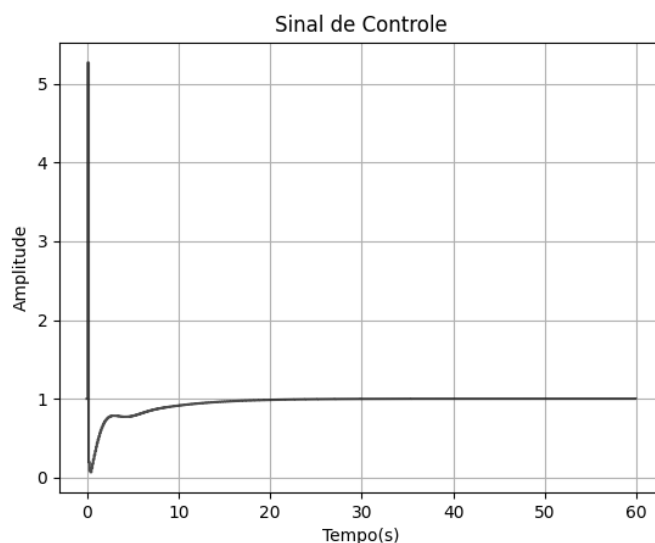


Imagem 6.8: Sinal de controle gerado no bloco *P.I.D.* utilizado como entrada $U(z)$ no sistema

8. Implementação de um controlador *DEADBEAT*

Temos que este tipo de controlador é projetado com o objetivo de fazer com que a saída do sistema vá para o estado estacionário no menor tempo de *time steps* possível. Para o sistema em questão, onde temos $T_s = 0.1$ é desejado que após o instante de tempo $t = 0.1s$ o sistema estabilize sobre o sinal de entrada.

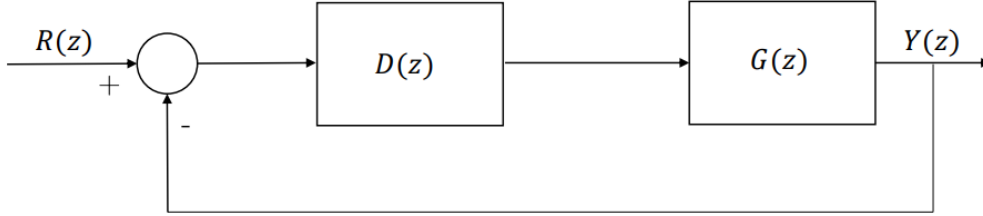


Imagem 8.1: Posição do controlador em malha fechada

Partindo da **Imagem 8.1**, temos que o sistema em malha fechada é o seguinte formato:

$$\bar{G}(z) = \frac{Y(z)}{R(z)} = \frac{G(z)D(z)}{1 + G(z)D(z)} \quad (eq. 8.1)$$

Partindo do desempenho desejado para o sistema descrito anteriormente, buscamos que o sistema em malha fechada seja do seguinte formato:

$$\bar{G}(z) = z^{-k}, k \geq 1 \quad (eq. 8.2)$$

De forma que o parâmetro k é definido a partir do tempo morto do sistema, que é o tempo em que o mesmo leva para apresentar uma resposta na saída, quando alimentado na entrada com um sinal qualquer.

Uma vez que sabemos a função de transferência do sistema em malha fechada, podemos criar uma relação de igualdade entre as *eq. 8.1* e *eq. 8.2* para que seja possível determinar a função de transferência de $D(z)$ em malha fechada, que é o bloco do nosso controlador. Assim:

$$\bar{G}(z) = \frac{Y(z)}{R(z)} = \frac{G(z)D(z)}{1 + G(z)D(z)} \rightarrow D(z) = \frac{1}{G(z)} \cdot \frac{\bar{G}(z)}{1 - \bar{G}(z)} \rightarrow D(z) = \frac{1}{G(z)} \cdot \frac{z^{-k}}{1 - z^{-k}}$$

Portanto:

$$D(z) = \frac{1}{G(z)} \cdot \frac{1}{z^k - 1} \quad (eq. 8.3)$$

É importante notar que o projeto do controlador *DeadBeat* consiste em posicionar todos os polos do sistema em malha fechada, em $z = 0$. Esses polos correspondem a resposta mais rápida possível do sistema. Agora, partimos para a modelagem do controlador *DeadBeat* para o nosso caso.

Partindo da **Imagem 3.7**, temos que o tempo morto do sistema é nulo, uma vez que o mesmo apresenta algum tipo de resposta quase que imediatamente no mesmo instante de tempo em que é alimentado com um sinal na entrada. Uma vez que precisamos que o valor seja $k \geq 1$, não podemos tomar $k = 0$, dessa forma vamos usar $k = 1$.

Observando a **Imagem 4.6**, temos que em z o sistema em malha aberta pode ser descrito utilizando a seguinte função de transferência:

$$G(z) = \frac{0.00248786z^3 + 0.0027248z^2 - 0.00101398z - 0.00225092}{z^3 - 2.88555858z^2 + 2.7914939z - 0.90498756}$$

Dessa forma, temos que o inverso de $G(z)$ tem o seguinte formato:

$$\frac{1}{G(z)} = \frac{z^3 - 2.88555858z^2 + 2.7914939z - 0.90498756}{0.00248786z^3 + 0.0027248z^2 - 0.00101398z - 0.00225092}$$

Logo, a função de transferência $D(z)$ do controlador tem o seguinte formato:

$$D(z) = \frac{z^3 - 2.88555858z^2 + 2.7914939z - 0.90498756}{0.00248786z^3 + 0.0027248z^2 - 0.00101398z - 0.00225092} \cdot \frac{1}{(z - 1)} =$$

$$= \frac{z^3 - 2.88555858z^2 + 2.7914939z - 0.90498756}{0.00248786z^4 + 0.00023694z^3 - 0.00473878z^2 - 0.00023694z + 0.00225092}$$

Uma vez que temos o nosso controlador modelado, resta apenas realizar a implementação. De forma análoga ao controlador *P.I.D.*, partimos da implementação individual de cada bloco do sistema em malha fechada, garantindo assim o comportamento de cada componente junto de suas entradas e saídas corretas.

Para o componente responsável por calcular e atualizar o erro, temos:

```
1 ## Bloco de erro
2
3 def erroDB(setpoint , output):
4     e = setpoint - output
5     return e
```

Imagem 8.2: Trecho de código responsável por atualizar o erro

O trecho de código acima recebe como parâmetro o valor do sinal de referência junto da última saída do sistema e calcula o valor de erro $E(z)$ para ser usado como entrada no controlador.

Para o componente responsável por desempenhar o papel do controlador, temos:

```
1 #Bloco que representa o controlador
2
3 def DeadBeat(controllerDbTf, erro, tempo):
4     tOutController, yOutController = signal.dlsim(controllerDbTf, erro, tempo)
5     return tOutController, yOutController
```

Imagem 8.3: Trecho de código responsável por calcular a resposta do controlador

O código acima recebe como parâmetro a função de transferência que descreve o sistema do controlador em z , o valor de erro mais atual e o vetor de tempo para poder calcular o valor do sinal de controle $U(z)$, que vai servir de entrada para a planta.

Para o componente responsável por desempenhar o papel da planta do sistema, temos:

```
1 #Bloco que representa o Sistema
2
3 def system(discreteSystem, inputSignal, timeStep):
4     tOutSystem, yOutSystem = signal.dlsim(discreteSystem, inputSignal, timeStep)
5     return tOutSystem, yOutSystem
```

Imagem 8.4: Trecho de código responsável por calcular a resposta da planta do sistema

O trecho de código acima, recebe o sistema discretizado junto dos vetores que representam o sinal de controle e o tempo de simulação, apresentando na saída a resposta $Y(s)$.

Agora, definimos as condições iniciais do sistema em Malha Fechada:

```
1 #Set up das condiCOes iniciais do sistema
2
3 #Valores iniciais para setpoint e saida
4 setPoint = 1
5
6 #Valor do time step
7 Ts = 0.1
8
9 #Instantes de tempo (0s —> 60s com passo = Ts —> 600 instantes de tempo)
10 instanteTempo = 0
11
12 #Vetor com os intantes de tempo (tamanho 600)
13 tempo = np.arange(0, 30, Ts)
14
15 #Valores de erro acumulados com valores iniciais nulos
16 e = np.zeros(len(tempo))
17 e[0] = setPoint
18 #Vetor com o sinal de controle
19 u = np.zeros(len(tempo))
20
21 #Vetor com as saidas
22 ysOut = np.zeros(len(tempo)) #Saida do sistema
23 ycOut = np.zeros(len(tempo)) #Saida do controlador
24 tsOut = np.zeros(len(tempo)) #Instantes de tempo
25
26 #Modelagem da funcao de transferencia do controlador em Z
27 numDb = [ 1. , -2.88555858, 2.7914939 , -0.90498756]
28 denDb = [0.00248786, 0.00023694, -0.00473878, -0.00023694, 0.00225092]
29 controllerDbTf = signal.TransferFunction(numDb,denDb, dt = 0.1)
30
31 #Modelagem da funcao de transferencia do sistema em Z
32 numSdb = [ 0.00248786, 0.0027248 , -0.00201398, -0.00225092]
33 denSdb = [ 1. , -2.88555858, 2.7914939 , -0.90498756]
34 systemDbTf = signal.TransferFunction(numSdb, denSdb, dt = 0.1)
```

Imagem 8.5: Trecho de código responsável por definir as condições iniciais do sistema em malha fechada

O trecho de código acima garante o erro inicial do sistema igual a zero, o valor do sinal de referência igual a um e o valor da taxa de amostragem em **0.1**. Garante também a criação dos vetores que representam a entrada e a saída do sistema, assim como o tempo de simulação, todos preenchidos também com zeros, pôr fim, a representação do controlador e da planta é montada utilizando $T_s = 0.1$.

Uma vez que a lógica dos blocos individuais foi montada, suas entradas e saídas modeladas de maneira correta e as condições iniciais do sistema estabelecidas, resta apenas simular a malha fechada garantindo a sequência lógica de execução correta. O trecho de código responsável por simular a lógica do sistema em malha fechada pode ser observado abaixo.

```
1 #Sistema em malha fechada
2
3 while(instanteTempo < len(tempo)):
4
5     #Resposta do controlador
6     tsOut, ycOut = DeadBeat(controllerDbTf, e, tempo)
7     output = ycOut[instanteTempo]
8     u[instanteTempo] = output
9
10    #Resposta do sistema
11    tsOut, ysOut = system(systemDbTf, u, tempo)
12    output = ysOut[instanteTempo]
13
14    #Valor de erro para o instante atual
15    e[instanteTempo] = erroDB(setPoint, output)
16
17    instanteTempo += 1
```

Imagem 8.6: Simulação do sistema em malha fechada

Ao fim da execução do algoritmo, presente na **Imagem 8.6**, temos as seguintes saídas:



Imagem 8.7: Comparação entre as respostas do sistema em Malha aberta e Malha fechada

Agora, para avaliação do critério de desempenho, precisamos verificar se o sistema apresenta a melhor resposta possível. A resposta em questão aconteceria no instante de tempo $t = 0.1s$, que é o momento que ocorre a primeira amostragem. Diminuindo o intervalo de simulação para apenas $0.2s$, podemos observar com mais clareza o eixo de tempo do nosso *plot*.

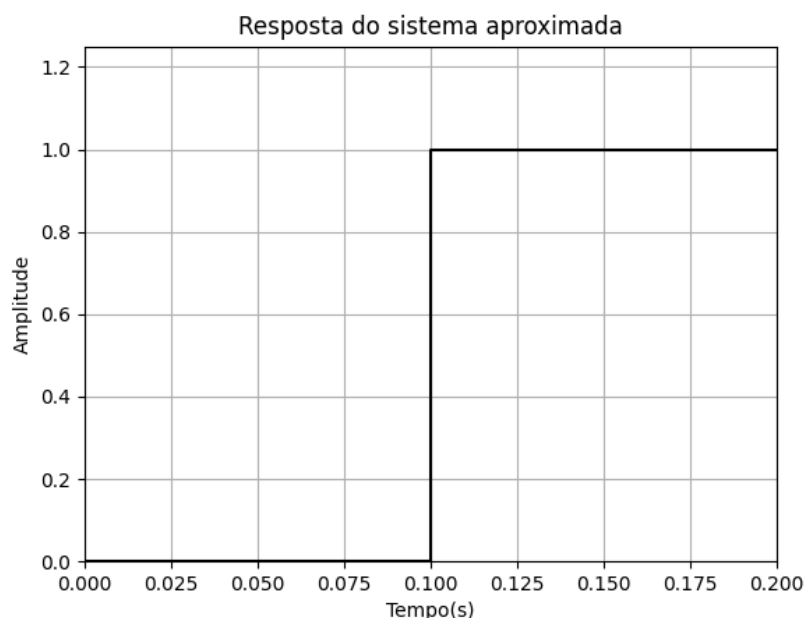


Imagem 8.8: Observação do critério de desempenho do controlador

Podemos perceber que a resposta do sistema acontece em $t = 0.1s$, portanto, o controlador projetado está dentro do parâmetro de desempenho desejado.

As imagens a seguir apresentam o sinal de controle gerado por $D(z)$

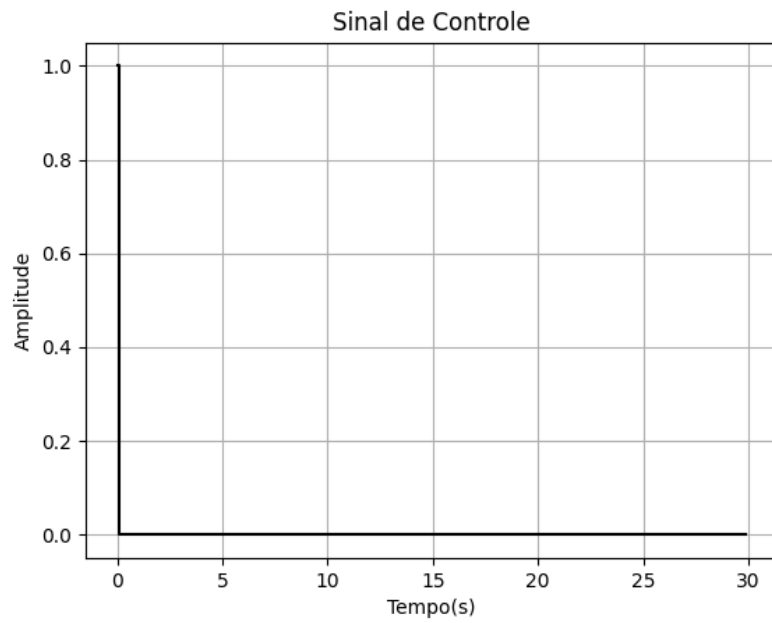


Imagem 8.9: Sinal de controle gerado

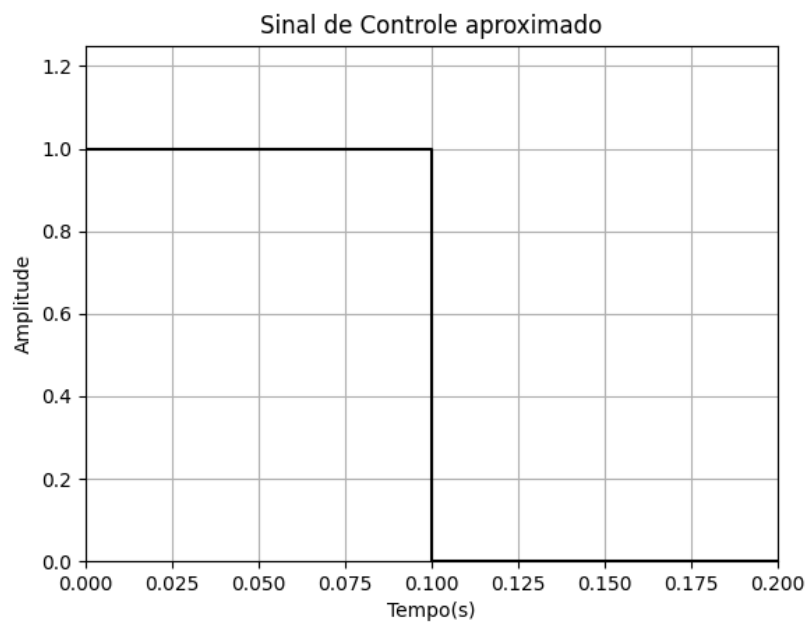


Imagem 8.10: Observação do critério de desempenho do controlador (sinal de controle)

9. Anexos

ANEXO A – Notebook com as implementações realizadas para a análise deste documento:

<[Sistemas de Controle 2 - AB2](#)>

10. Bibliografia

NISE, Norman. Engenharia de Sistemas de Controle. 6^a ED. Rio de Janeiro: LTC - Livros Técnicos e Científicos Editora Ltda, 2012.

OGATA, Katsushiro. Engenharia de controle Moderno. 5^a ED. São Paulo: Pearson Education do Brasil, 2011.

KLUEVER, Craig. Sistemas Dinâmicos – Modelagem, Simulação e Controle. 1^a ED. Rio de Janeiro: LTC - Livros Técnicos e Científicos Editora Ltda, 2017.

PYTHON SOFTWARE FOUNDATION. Python Language Site: Python Control Systems Library, 2022. Página de documentação. Disponível em: <<https://python-control.readthedocs.io/en/0.9.1/>>. Acesso em: 06 de Maio. de 2022.

PYTHON SOFTWARE FOUNDATION. Python Language Site: Signal processing, 2022. Página de documentação. Disponível em: <<https://docs.scipy.org/doc/scipy/reference/signal.html>>. Acesso em: 06 de Maio. de 2022.